



LLUVIAS



CENEPRED

Centro Nacional de Estimación, Prevención y
Reducción del Riesgo de Desastres

**ESTUDIO DE ESCENARIO DE RIESGO
ANTE EL PRONÓSTICO DE
LLUVIA EN LA SELVA - CUARTO FRIAJE**

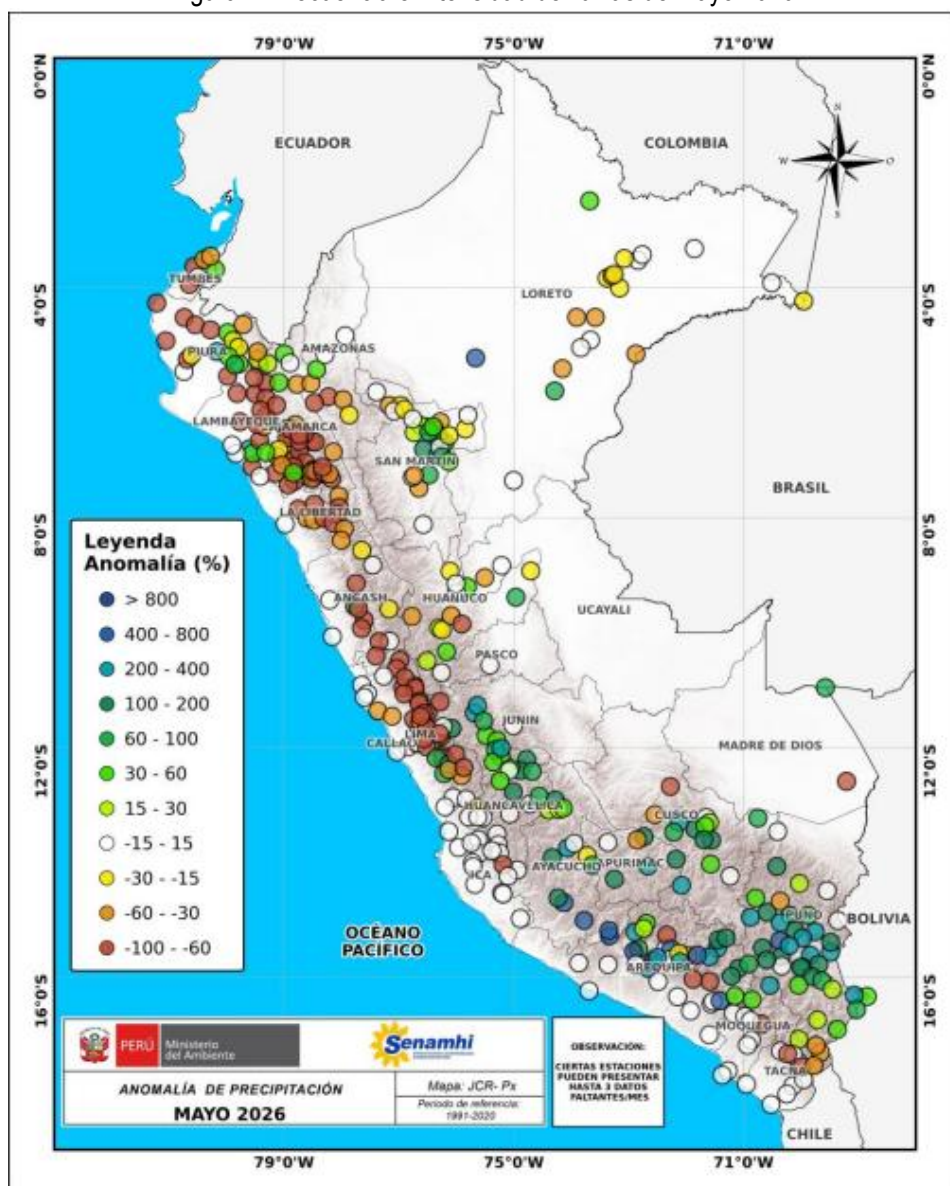
DEL 23 AL 25 JUNIO DE 2026

I. COMPORTAMIENTO DE LAS PRECIPITACIONES A NIVEL NACIONAL

Durante mayo de 2026, las precipitaciones en el país mostraron un comportamiento mixto. La costa norte, la sierra norte y central presentaron deficiencias de precipitación, mientras que la sierra sur reportó valores por encima de su normal climática, con anomalías positivas de entre +15% y +100%. Este superávit en el sur estuvo determinado, principalmente, por el evento extremo de lluvias registrado el 24 de mayo.

Por otro lado, la Amazonía exhibió un comportamiento variable, caracterizada por deficiencias en algunas estaciones de Loreto y San Martín, contrastando con excedentes en otros puntos de estos mismos departamentos y de Huánuco.

Figura 1: Frecuencia e Intensidad de lluvias de mayo 2026.



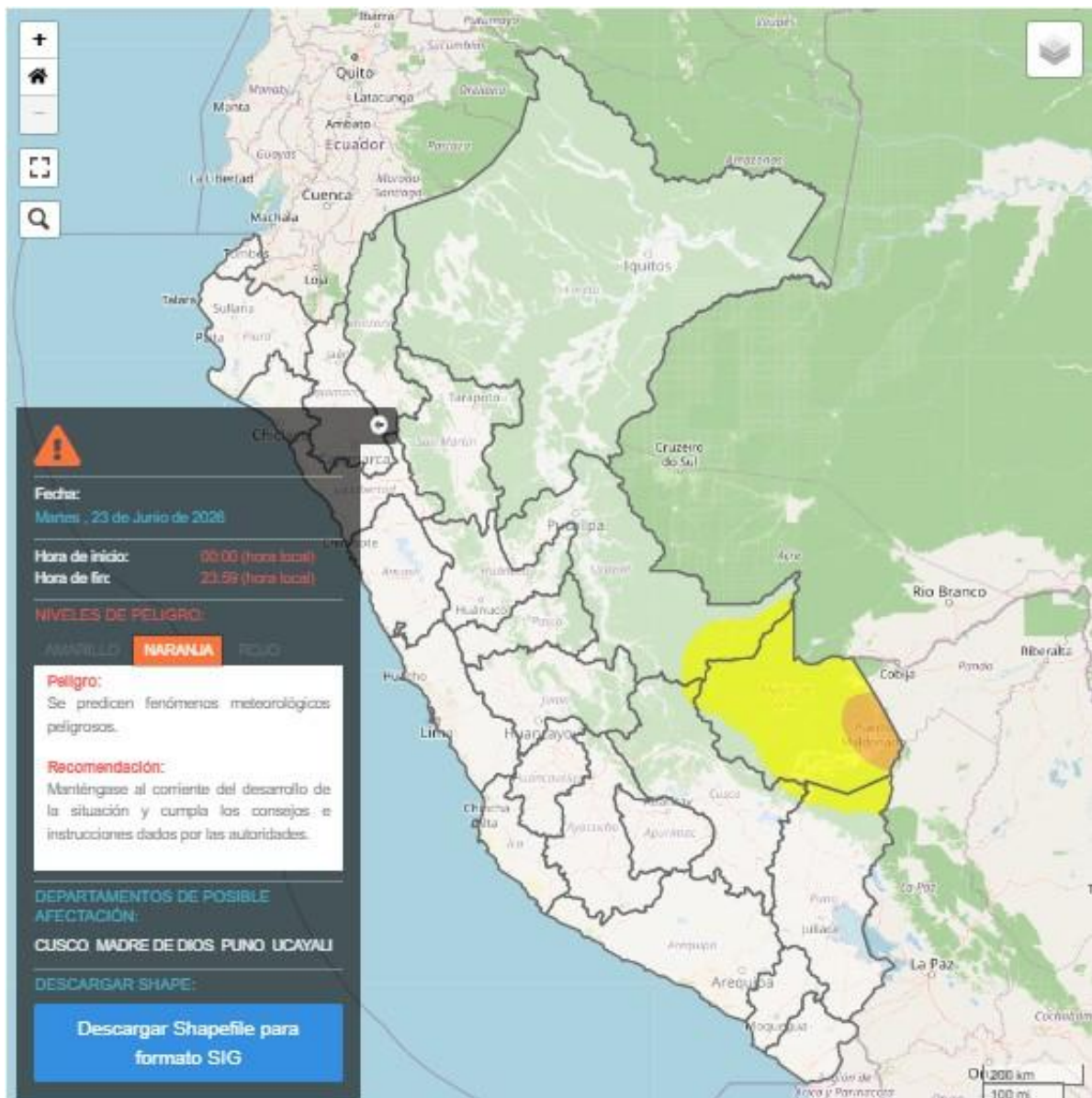
Fuente: SENAMHI (Mayo, 2026).

II. PERSPECTIVAS

El SENAMHI informa que, desde el martes 23 al jueves 25 de junio, se espera la presencia de lluvias de moderada a fuerte intensidad en la selva. Esta lluvia estará acompañada de descargas eléctricas y ráfagas de viento con velocidades cercanas a los 50 km/h.

El martes 23 de junio se prevén acumulados de lluvia cercanos a los 35 mm/día en la selva centro y alrededor de los 50 mm/día en la selva sur.

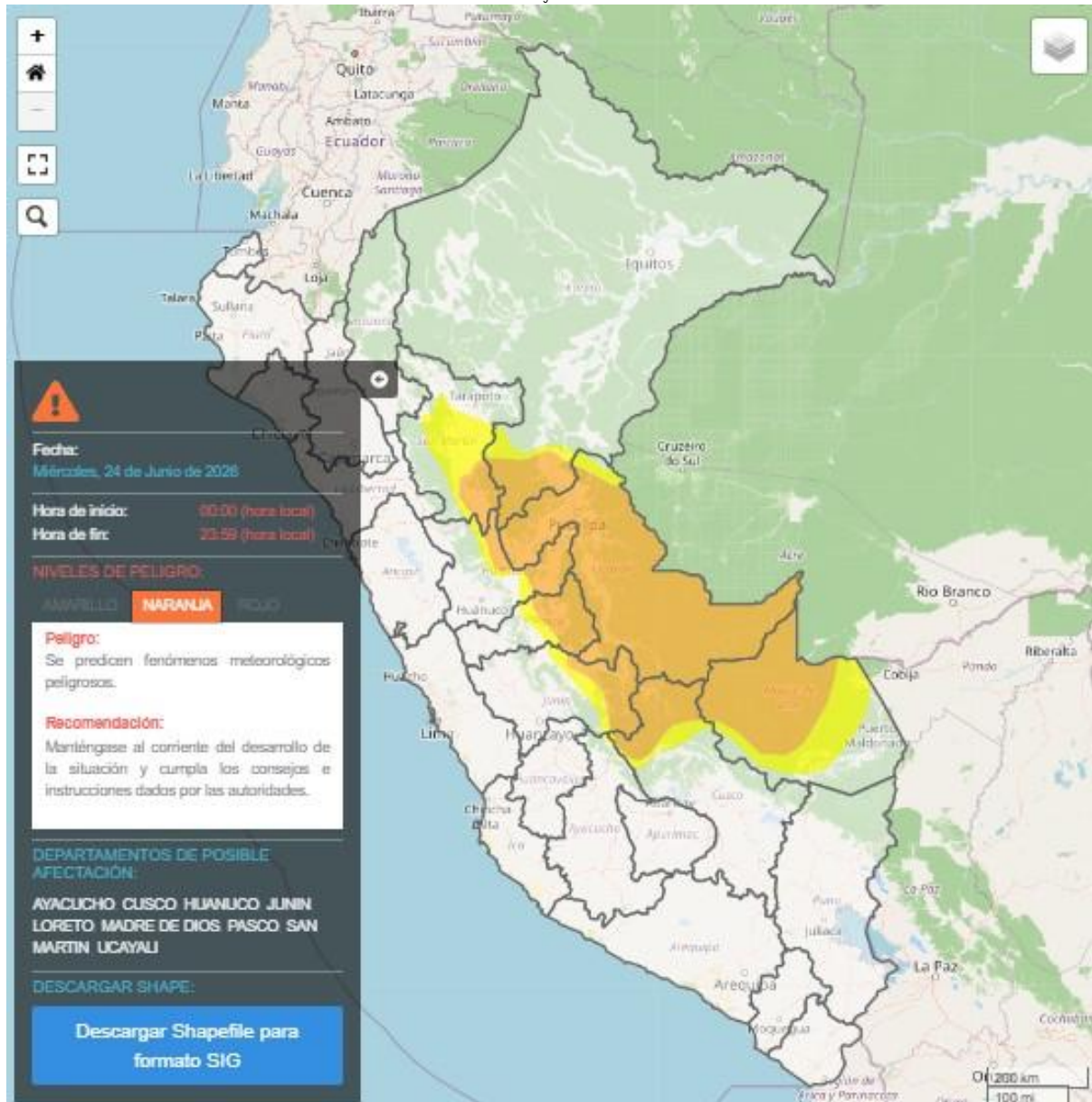
Figura 2. Pronóstico de lluvia en la selva - Cuarto friaje del 23 de junio del 2026



Fuente: SENAMHI Aviso Meteorológico N°245

El miércoles 24 de junio se prevén acumulados de lluvia cercanos a los 50 mm/día en la selva norte, y valores próximos a los 60 mm/día en la selva centro y selva sur.

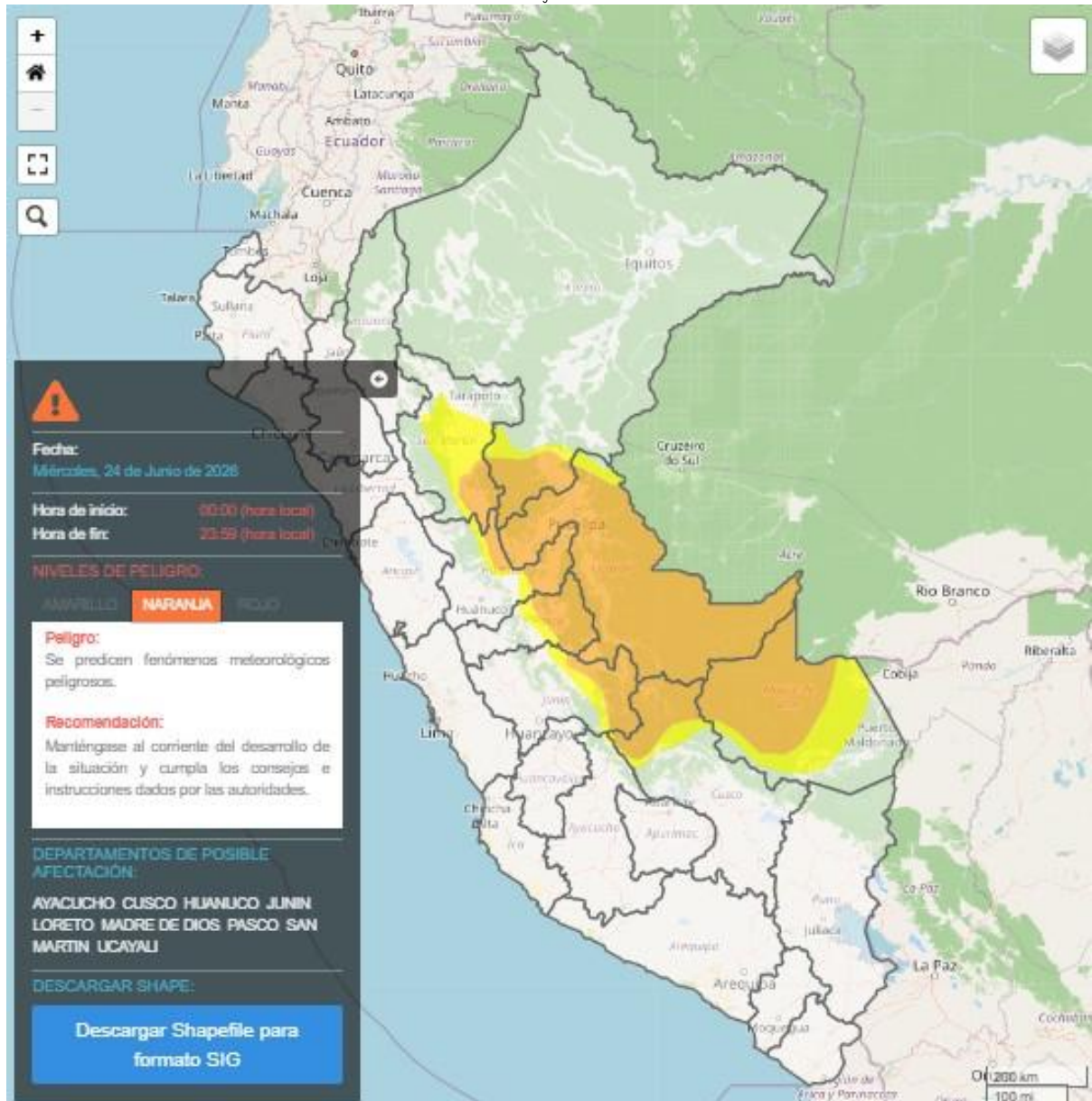
Figura 3. Pronóstico de lluvia en la selva - Cuarto friaje del 24 de junio del 2026



Fuente: SENAMHI Aviso Meteorológico N° 245

El jueves 25 de junio se prevén acumulados de lluvia cercanos a los 60 mm/día en la selva norte y selva centro.

Figura 4. Pronóstico de lluvia en la selva - Cuarto friaje del 25 de junio del 2026



Fuente: SENAMHI Aviso Meteorológico N° 245

Para efectos de análisis se ha unido el ámbito de los diferentes días que implica el aviso, obteniendo un solo ámbito de exposición por los días de duración del aviso.

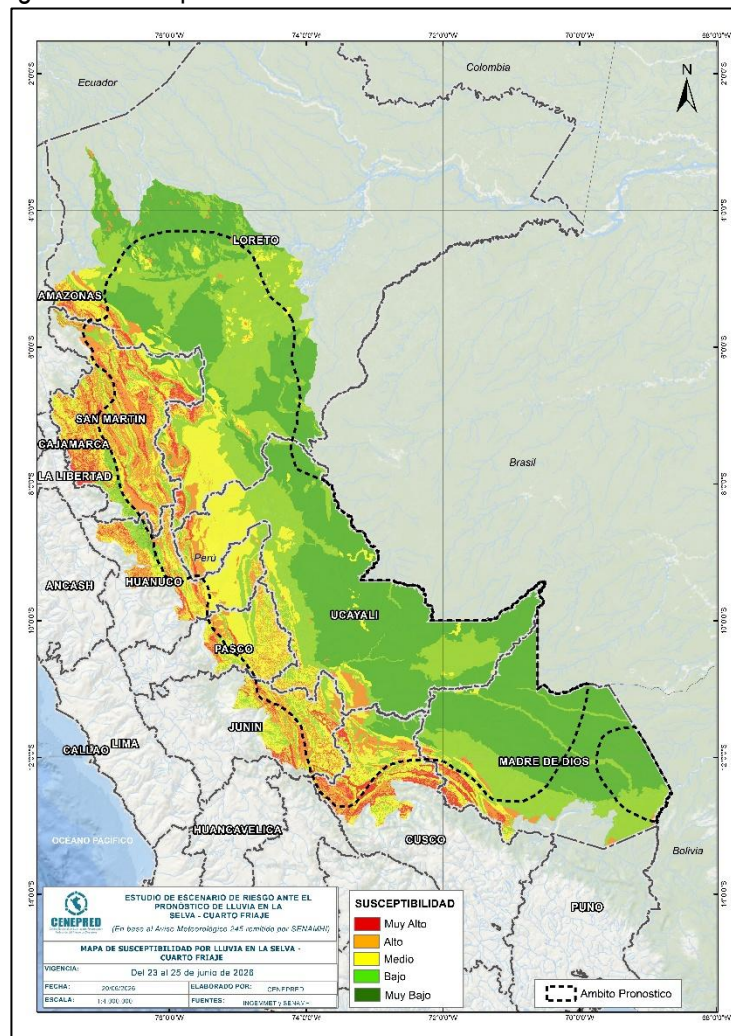
III. ESCENARIO DE RIESGO POR MOVIMIENTOS EN MASA

1 ANÁLISIS DE SUSCEPTIBILIDAD POR MOVIMIENTOS EN MASA

La probabilidad de la ocurrencia de lluvias de fuerte intensidad durante estos días, desencadenarían la posible presencia de deslizamientos, flujos de detritos (huaycos) u otro tipo de movimientos en masa, que traería consigo situaciones de riesgo. No obstante, no se descarta la presencia de estas en las zonas donde se prevé condiciones normales o de déficit de lluvias.

Para la identificación de los ámbitos con mayor propensión a estos eventos se ha tomado como base el Mapa de Susceptibilidad a Movimientos en Masa¹ (INGEMMET).

Figura 5. Susceptibilidad a movimientos en masa en la selva



Fuente: CENEPRED, elaborado con información del INGEMMET y SENAMHI

¹ Cabe destacar que los mapas de susceptibilidad por movimientos en masa, si bien identifican áreas donde se pueden generar potencialmente tales eventos, en ellos no figura la totalidad de zonas a ser afectadas, ni predicen cuando ocurrirán los procesos analizados (Ayala-Carcedo y Olcinas 2002).

2 ANÁLISIS DE EXPOSICIÓN SOCIOECONÓMICA

En el análisis de exposición socioeconómica, se consideró como unidad mínima de análisis el ámbito distrital. Las variables utilizadas son incidencia de pobreza, tasa de analfabetismo y tasa de desnutrición crónica infantil.

El valor de exposición se obtuvo mediante el análisis con sistemas de información geográfica (SIG), con la finalidad de poder representarlo cartográficamente.

Se estimó el valor de importancia (ponderación) de cada uno de los parámetros mediante el Proceso de Análisis Jerárquico (método de Saaty). Posteriormente, se determinó para cada parámetro los respectivos descriptores, representados por sus quintiles, estimándose también para estos una ponderación mediante el mismo método.

Este procedimiento se muestra en la Tabla 1, dando como resultado el valor de exposición para cada distrito.

Tabla 1. Matriz de ponderación utilizada para la evaluación de los niveles de exposición.

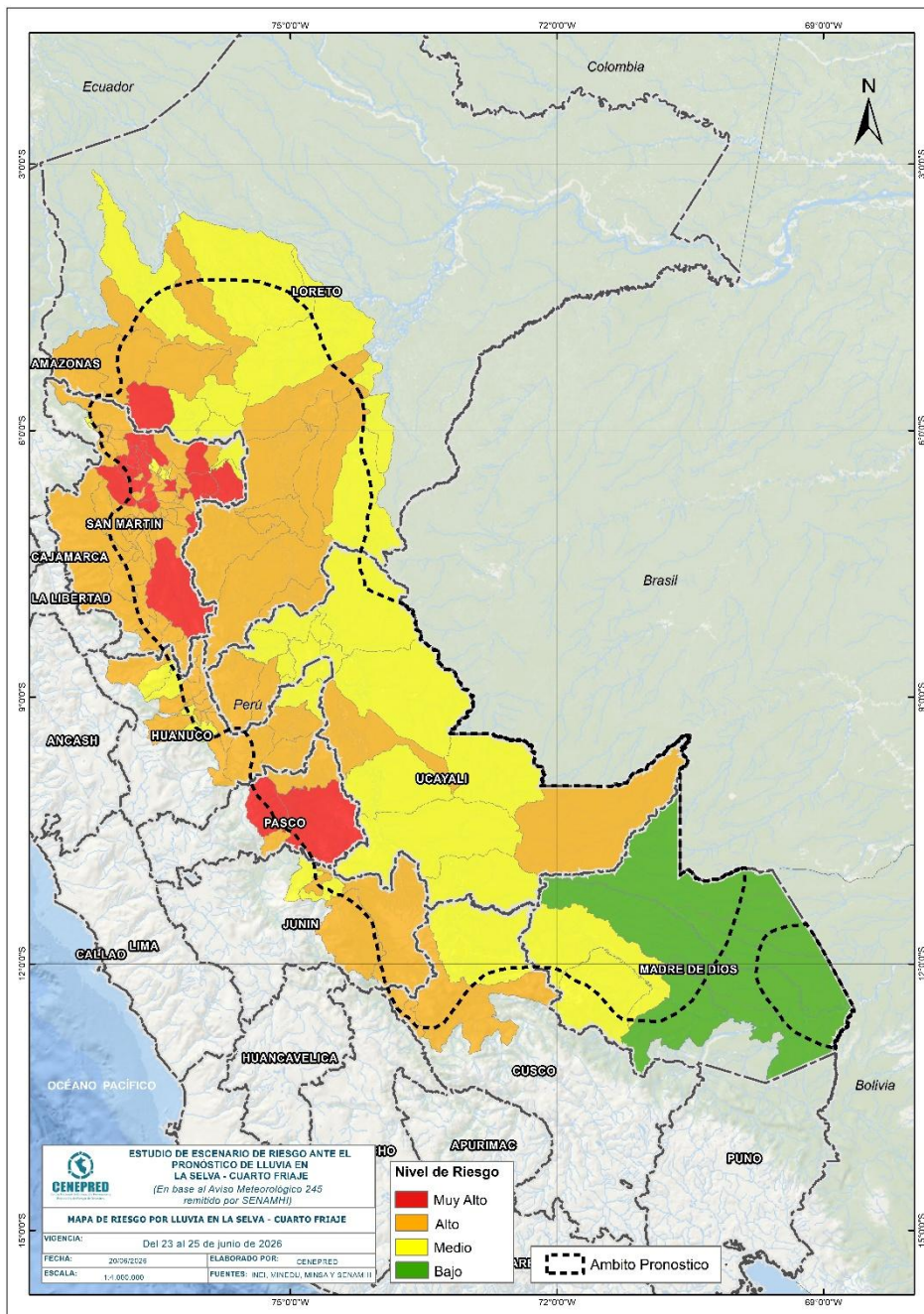
Descriptor	Parámetros de evaluación									Valor de exposición	Rango	Nivel de exposición
	Incidencia de pobreza	Valor	Peso	Tasa de Desnutrición Crónica	Valor	Peso	Tasa de Analfabetismo	Valor	Peso			
D5	Mayor a 63.8%	0.459	0.608	34.2% a 61.7%	0.416	0.272	20.8% a 45.5%	0.432	0.120	0.444	0.262 < R =< 0.444	Muy Alto
D4	50.7% a 63.7%	0.259	0.608	26.0% a 34.1%	0.262	0.272	14.1% a 20.7%	0.283	0.120	0.262	0.153 < R =< 0.262	Alto
D3	36.3% a 50.6%	0.150	0.608	19% a 25.9%	0.161	0.272	9.6% a 14.0%	0.152	0.120	0.153	0.089 < R =< 0.153	Medio
D2	21.8% a 36.2%	0.085	0.608	9.1% a 18.9%	0.099	0.272	5.4% a 9.5%	0.086	0.120	0.089	0.051 < R =< 0.089	Bajo
D1	Menor a 21.8%	0.047	0.608	Menor a 9.1%	0.062	0.272	Menor a 5.4%	0.048	0.120	0.051		

Fuente: CENEPRED, elaborado con información del INEI y el MINSA.

3. ESCENARIO PROBABLE DE RIESGO POR MOVIMIENTOS EN MASA

Una vez identificado los niveles de susceptibilidad a movimientos en masa y los niveles de exposición de la población, a nivel distrital, se procede a la conjunción de ambos factores para el cálculo de la probabilidad del riesgo (Tabla 2).

Figura 6. Escenario de riesgo por movimientos en masa según el pronóstico de lluvia en la selva - Cuarto friaje



Fuente: CENEPRED

Finalmente, se presentan los resultados del escenario de riesgo por movimientos en masa en la Tabla 2.

Tabla 2. Elementos expuestos por departamentos según su nivel de riesgo.

Nivel de Riesgo		Muy Alto					Alto				
		Elementos expuestos									
DEPARTAMENTOS		Cantidad Distritos	Población	Viviendas	Establec. Salud	Instituc. Educativas	Cantidad Distritos	Población	Viviendas	Establec. Salud	Instituc. Educativas
1	CUSCO	0	0	0	0	0	3	61.867	17.135	51	306
2	HUANUCO	0	0	0	0	0	14	114.799	32.140	85	561
3	JUNIN	0	0	0	0	0	3	110.927	26.562	91	878
4	LORETO	1	13.707	2.921	18	157	13	107.413	23.023	102	775
5	MADRE DE DIOS	0	0	0	0	0	0	0	0	0	0
6	PASCO	2	24.379	6.293	54	291	2	30.908	7.977	33	171
7	SAN MARTIN	16	129.855	32.625	84	555	46	430.445	112.684	309	1.291
8	UCAYALI	0	0	0	0	0	4	52.842	13.040	53	309
TOTAL GENERAL		19	167.941	41.839	156	1.003	85	909.201	232.561	724	4.291

Fuente: CENEPRED, elaborado con la información del INEI*, MINSA** y MINEDU***

*INEI: Cálculo de población y vivienda según Censos Nacionales 2017: XII de Población y VII de Vivienda

**MINSA: Base RENIPRESS, junio 2026.

***MINEDU: ESCALE, junio 2026.

IV. ESCENARIO DE RIESGO POR INUNDACIONES

1 ANÁLISIS DE SUSCEPTIBILIDAD POR INUNDACIONES

La probabilidad de la ocurrencia de lluvias de fuerte intensidad durante estos días, desencadenarían la posible presencia de inundaciones, que traería consigo situaciones de riesgo. No obstante, no se descarta la presencia de estas en las zonas donde se prevé condiciones normales o de déficit de lluvias.

Para la identificación de los ámbitos con mayor propensión a estos eventos se consolidó los mapas de susceptibilidad a inundaciones a nivel regional, elaborado por el INGEMMET, los cuales consideran como factores condicionantes: la geomorfología y la pendiente del terreno.

Los ámbitos de susceptibilidad muy alta y alta se caracterizan principalmente por presentar llanuras aluviales, planicies, altiplanos, terrazas aluviales, entre otros.

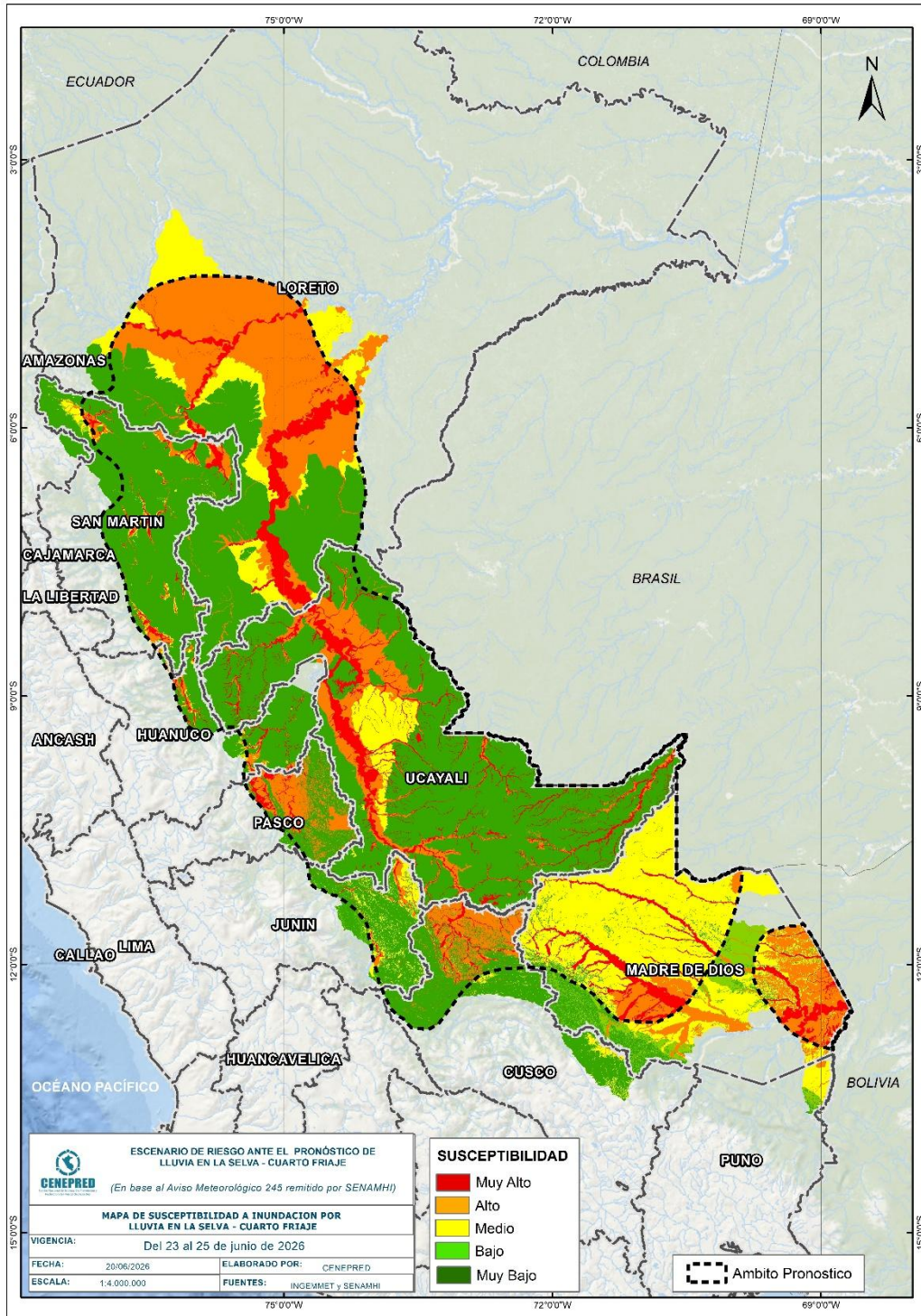
2 ESCENARIO PROBABLE DE RIESGO POR INUNDACIONES

Una vez identificado los niveles de susceptibilidad a inundación en el ámbito de las cuencas afectadas en la Figura 7 se procede a realizar el análisis de los niveles de exposición de la población, vivienda, establecimientos de salud e instituciones educativas a nivel de centros poblados.

De acuerdo al análisis de exposición y considerando el pronóstico se generó la Tabla 3, encontrándose que los departamentos con nivel de riesgo **Muy Alto** comprenden una población expuesta de 325343 habitantes; 94993 viviendas; 250 establecimiento de salud y 1428 instituciones educativas.

Los departamentos con nivel de riesgo **Alto** comprenden una población expuesta de 530592 habitantes; 167591 viviendas; 397 establecimientos de salud y 1679 instituciones educativas.

Figura 7. Escenario de riesgo por inundaciones en el ámbito del pronóstico de lluvia en la selva - Cuarto friaje del 23 al 25 junio del 2026



Fuente: CENEPRED

Tabla 3. Elementos expuestos por departamentos según su nivel de riesgo por inundación.

Nivel de Riesgo		Muy Alto					Alto				
		Elementos expuestos									
DEPARTAMENTOS		Centros Poblados	Población	Viviendas	Establec. Salud	Instituc. Educativas	Centros Poblados	Población	Viviendas	Establec. Salud	Instituc. Educativas
1	CUSCO	18	5799	1088	12	43	23	3784	1375	5	30
2	HUANUCO	59	6824	2659	9	52	120	103028	30786	35	171
3	JUNIN	17	2862	780	6	33	71	15212	4251	13	137
4	LORETO	239	36406	9079	38	374	257	38906	9658	51	398
5	MADRE DE DIOS	58	9951	3842	15	56	98	93681	32432	119	171
6	PASCO	94	11478	3657	33	141	110	23808	9109	28	195
7	SAN MARTIN	200	47274	14160	44	181	304	219503	69928	110	349
8	UCAYALI	414	204749	59728	93	548	160	32670	10052	36	228
TOTAL GENERAL		1099	325343	94993	250	1428	1143	530592	167591	397	1679

Fuente: CENEPRED, elaborado con la información del INEI*, MINSA** y MINEDU***

*INEI: Cálculo de población y vivienda según Censos Nacionales 2017: XII de Población y VII de Vivienda

**MINSA: Base RENIPRESS, junio 026.

***MINEDU: ESCALE, junio 2026.

San Isidro, 20 de junio de 2025

El CENEPRED actualizará esta información de acuerdo a los avisos meteorológicos remitidos por del SENAMHI. El resultado de esta información se encuentra disponible en el Sistema de Información para la Gestión del Riesgo de Desastres - SIGRID, y a través de la página web del CENEPRED <https://cenepred.gob.pe/web/escenario-riesgos/> para su descarga a fin de dar a conocer de manera detallada los parámetros utilizados.